

MISCEL·LÀNIA

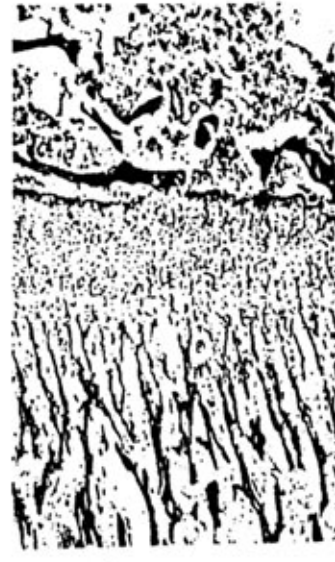
TESTIMONI



LACTOSA



MALONAT



Extremitat superior de la tibia 40

Règim de les rates
del lot testimoni:
Ca 0'6 %. Ca/P 1'6.

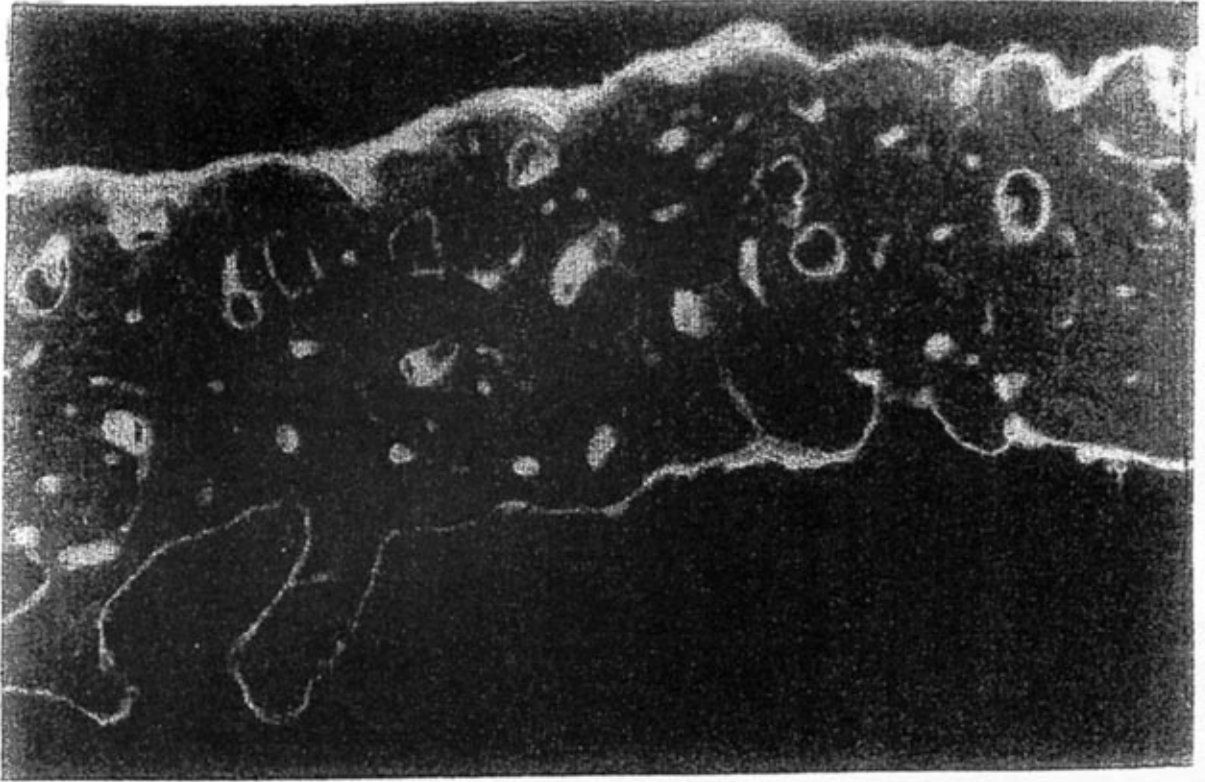
Règim de les rates
del lot lactosa:
Ca 0'6%. Ca/P 1'66
més 20% lactosa.

Règim de les rates
del lot malònic:
Ca 0'6%. Ca/P 1'6.
més 3% d'àcid malò
nic.

Els 3 lots de rates privats de vit.D i la durada de l'experiència: tres setmanes.

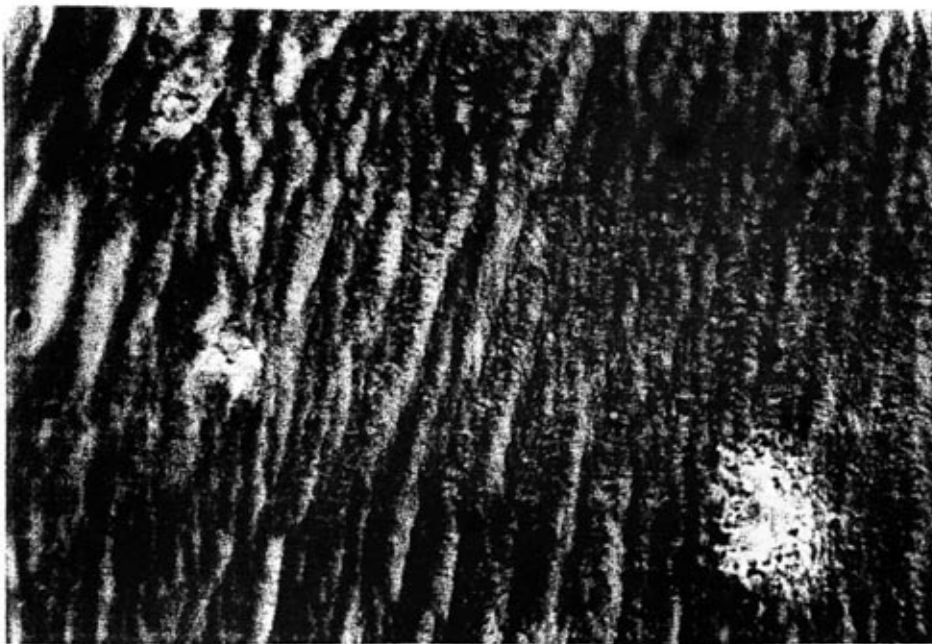
Les rates del lot testimoni, de règim ben proveït de calci presenten: el cartílag epifisari espessit irregularment; la línia d'ossificació anfractuosa i el tramat ossi sinuós i sense ordre. Els animals dels lots "lactosa" i "malonat" presenten les reaccions bioquímiques, fisiològiques i morfològiques d'una utilització normal del calci. Les orines contenen grans quantitats d'àcid cítric i -cetoglutàric.

P.L. Fournier i Y. Dupuis, C.R.Acad.Sci. t258:12, 1964.



Conill 274 Fo intoxicat

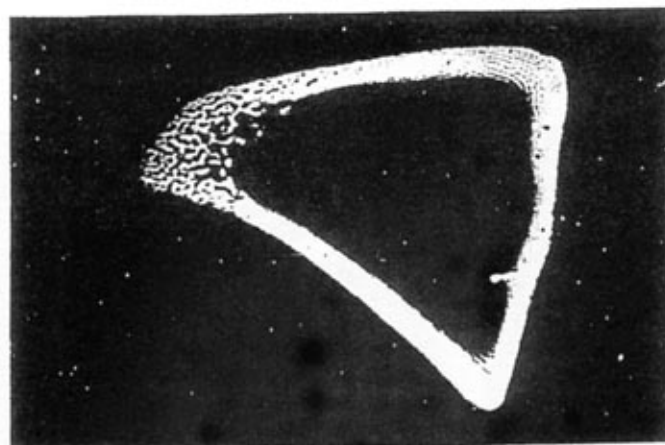
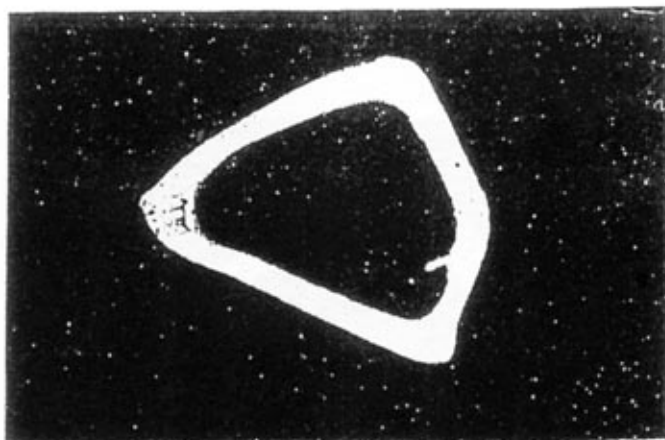
Osteocit en fase d'osteolisi (a la dreta) que es pot comparar a un osteocit en fase quiescent en teixit ossi lamel.lar (dalt a l'esquerra).



Osteocit en fase de reparació en el teixit ossi lamel.lar. Es veu bé l'halo periosteocitari de mineralització



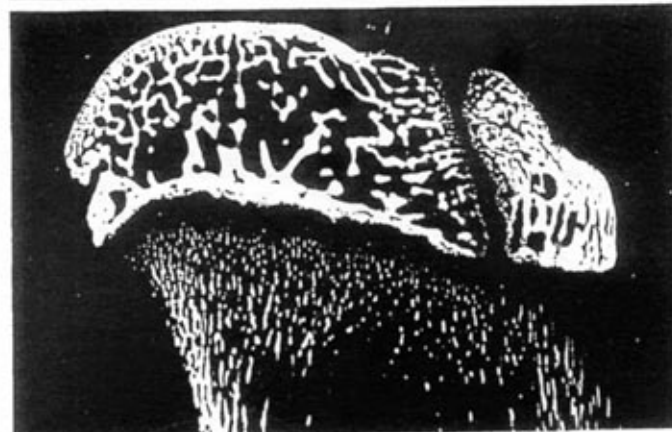
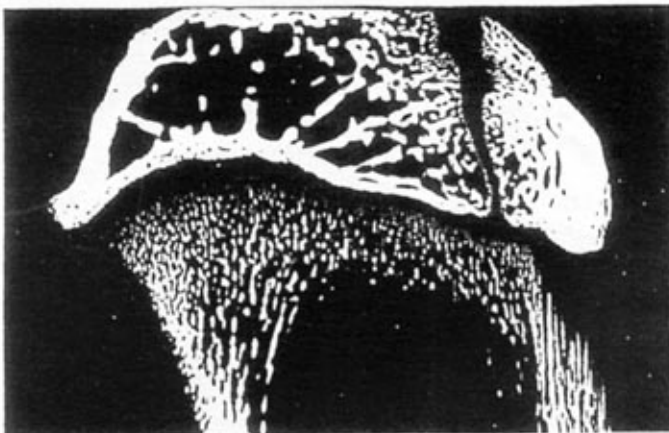
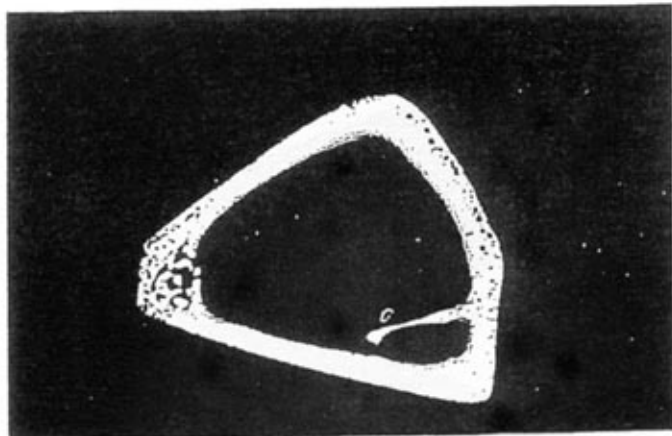
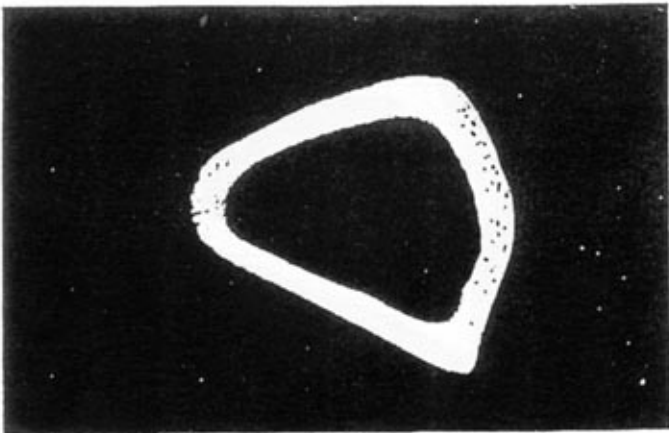
Ph. Bordier
Triangle 12/3/
57/1973.



c.

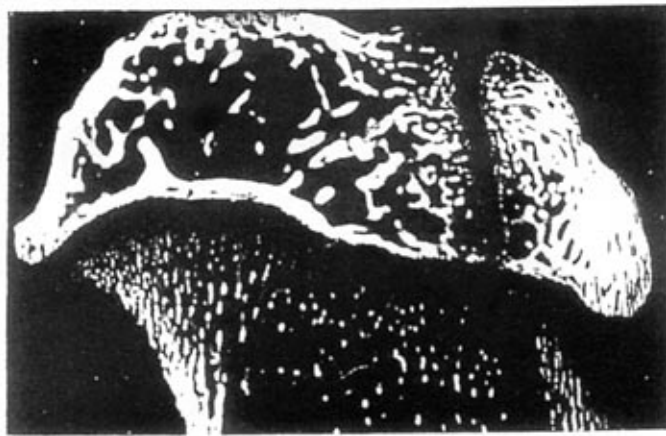
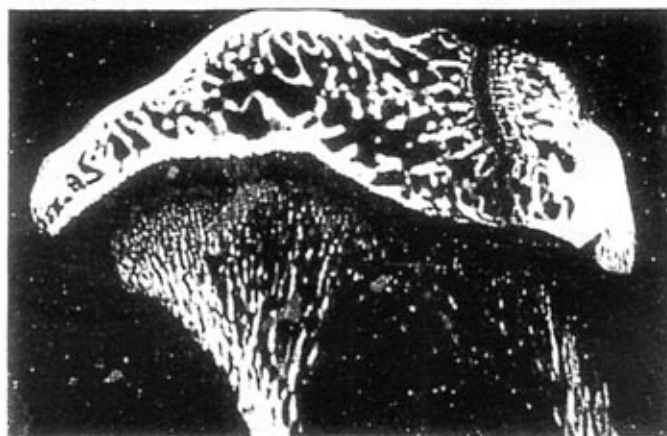
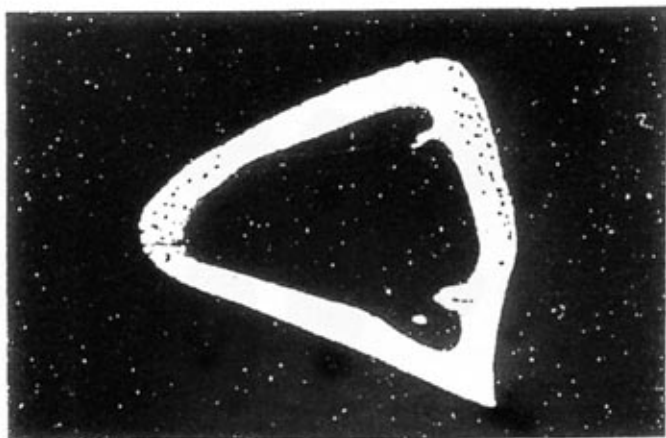
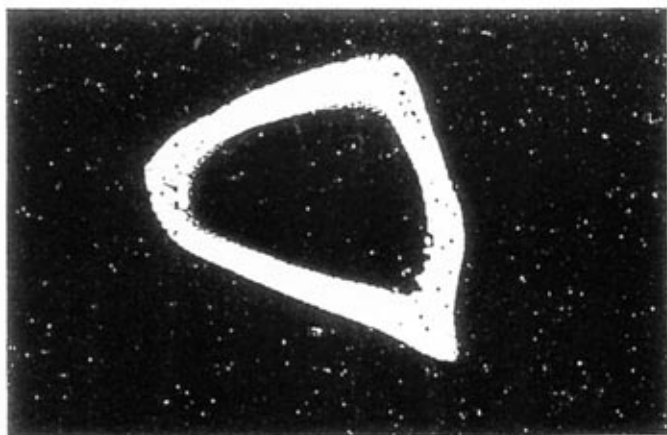


intox.



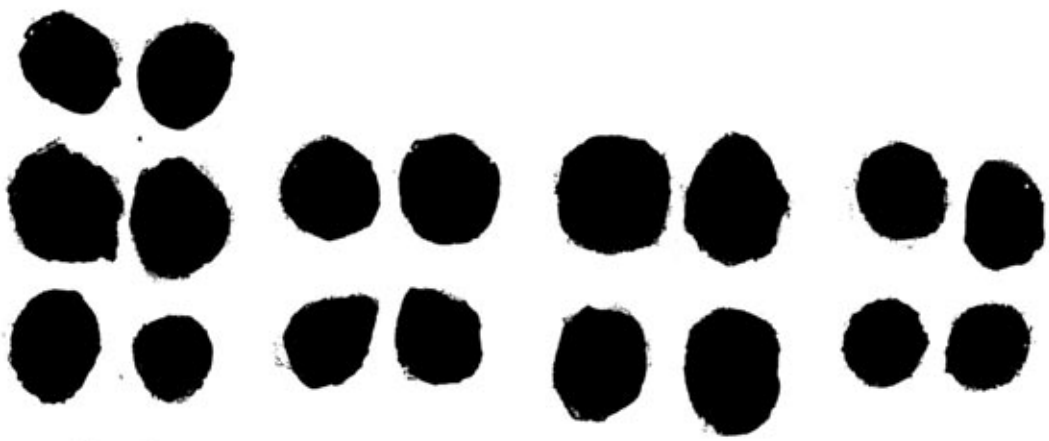
c.

intox.

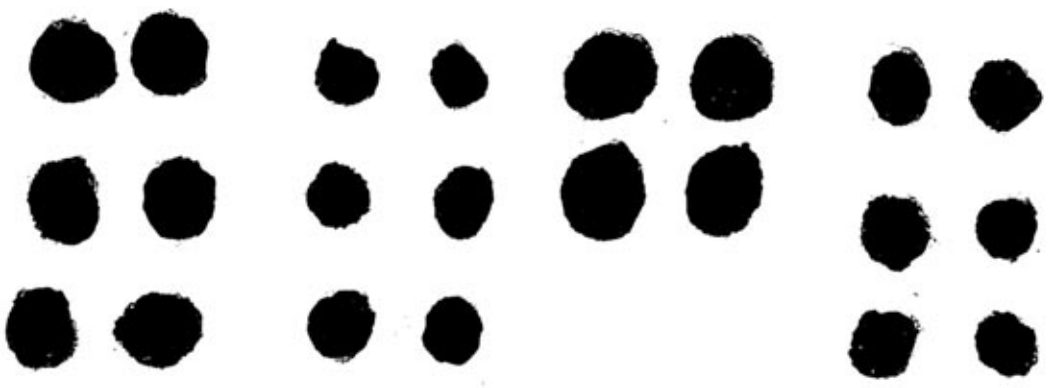


c. *S. ...*

intox.

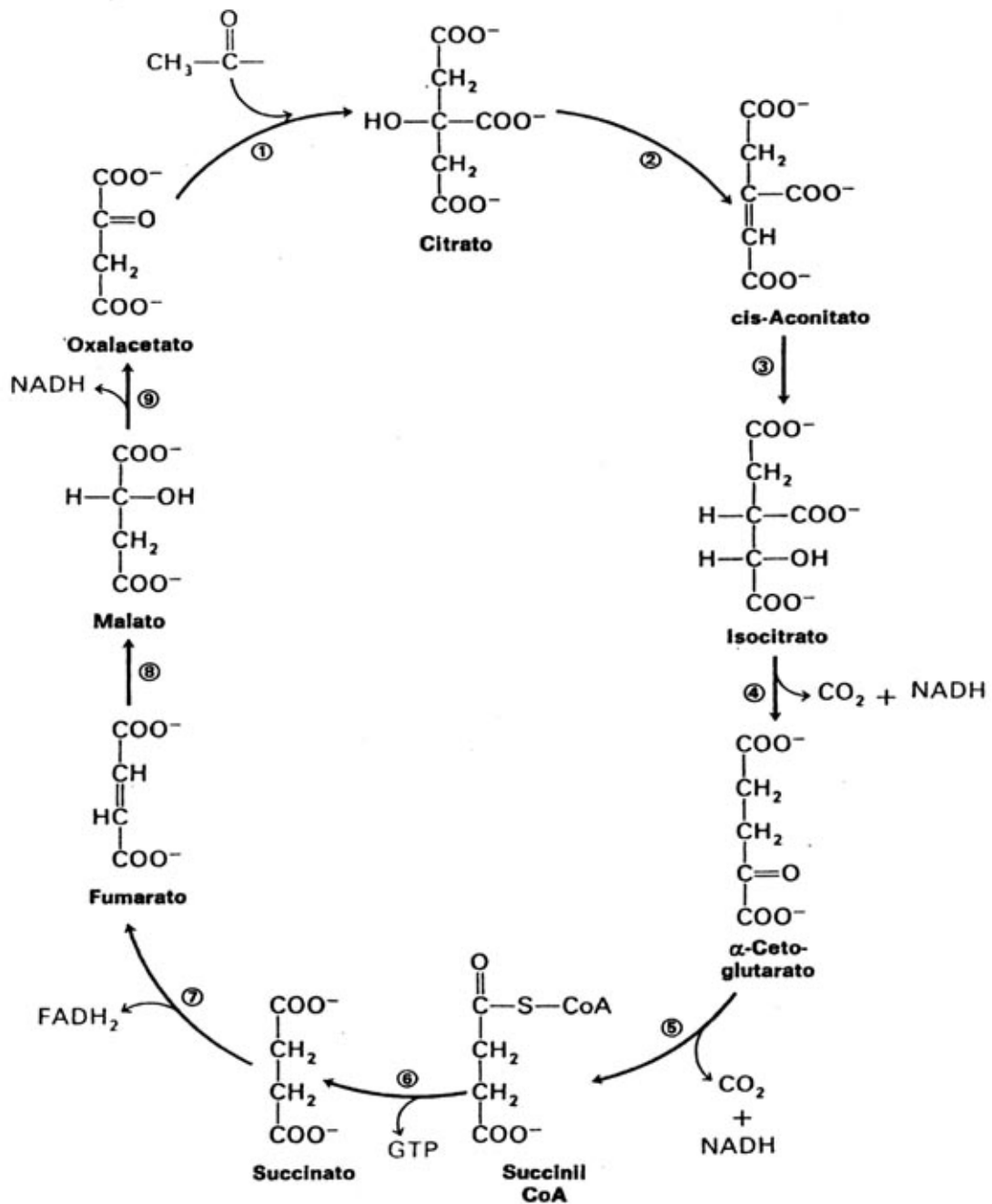


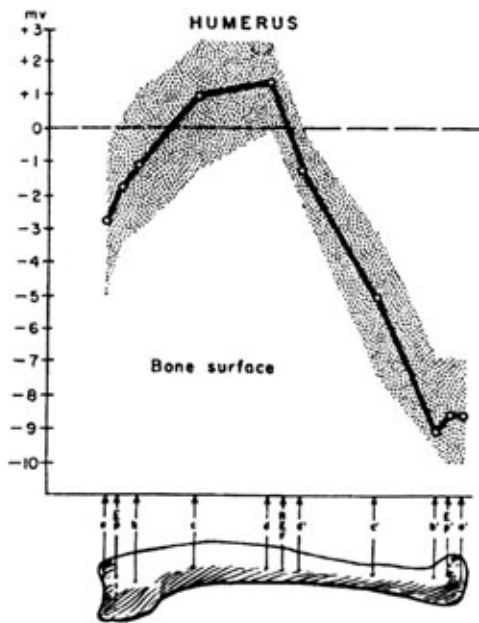
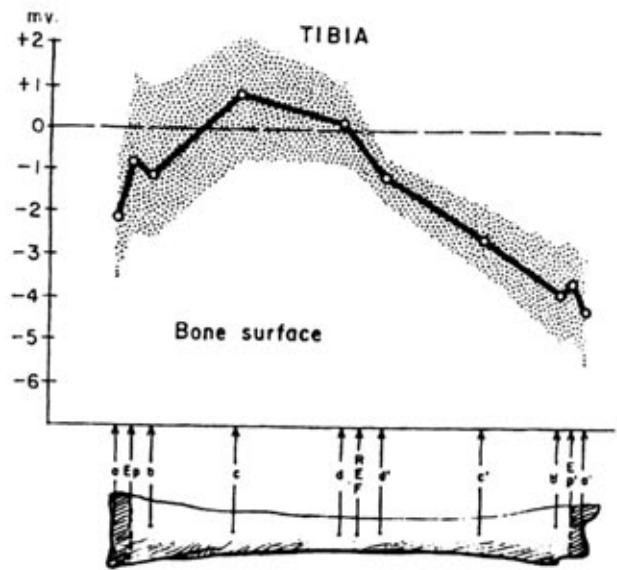
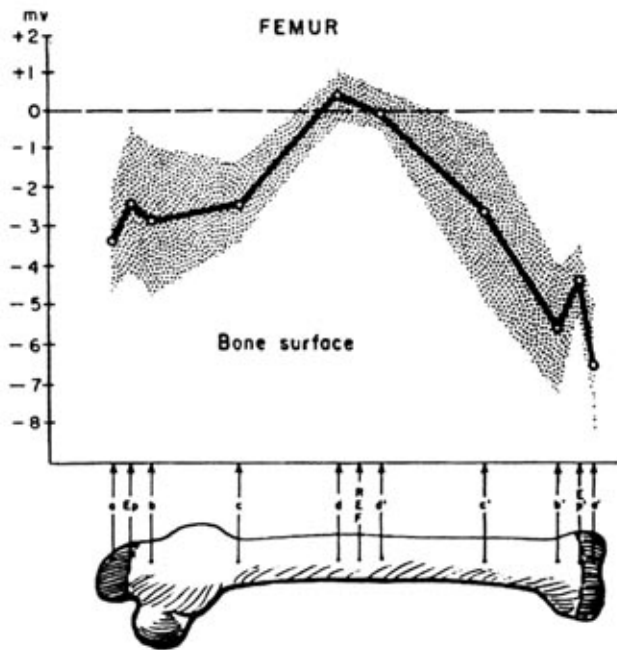
control



intox.

Sorprendent disminució del volum (és còpia de rigs X) de la femta dels conills intoxicats. Podria pensar-se amb la ingesta, però resulta, que durant tota la experiència s'han controlat, escrupulosament, les entrades per boca. L'únic afegiment ha sigut el malonat endovenós. Troballa, amb simplicitat, sense explicació convincent.





Electrogrames d'ossos de conill.

Tots els ossos mostren una corba en la que els acabaments són, relativament, més electronegatiu que el mànec que és electropositiu. En el fèmur i l'húmer, el punt isopolar correspon al mig de la diàfisi. A la tíbia l'isopolar és més pròxim a l'àpex.

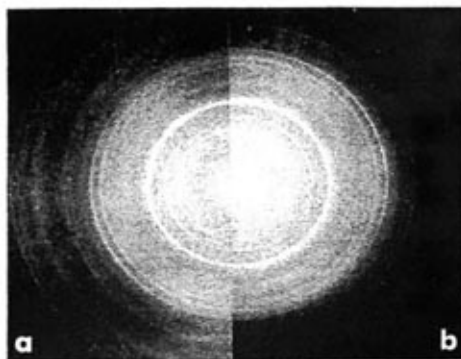
Friedenberg, Dyer i Brighton
 J.Dental Res. vol.50, nº3, 1971.



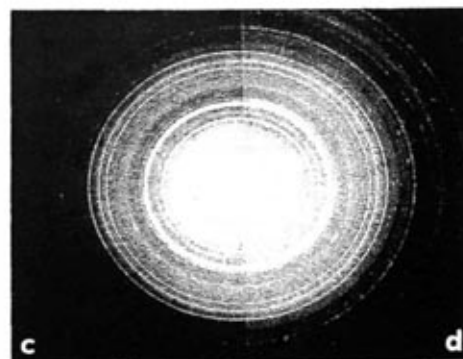
Baguettes d'hydroxiapatite - 12.000:1
Microscopia Electrònica.

H. Newesky Bull.Soc.Chim, France
pag. 1795, 1968.

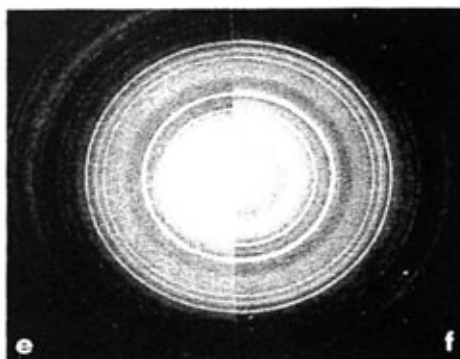
Les mostres d'os i d'apatites sintètiques examinades en condicions normals o bé, enfredorides a (-50° C) o escalfades a (600° C), a les figures de difracció no demostren cap alteració. D. Esteve-B, J. Microscopie, 16/15, 1972



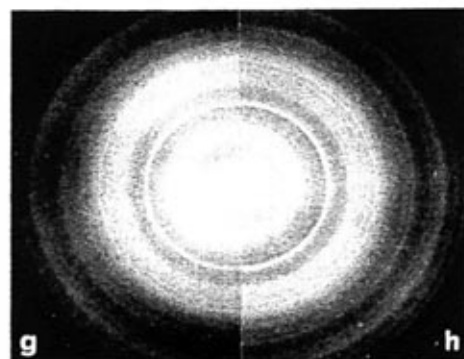
Difracció patró de l'os a -50° C Difracció patró a temp. ambient



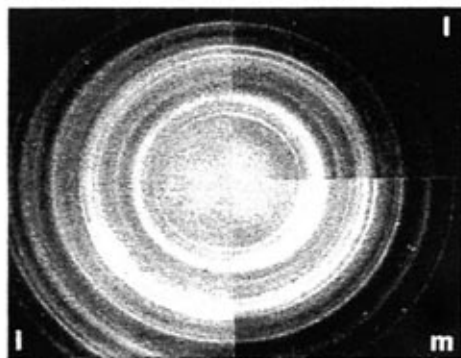
Difracció patró d'OCP a -50° C Difracció patró a temp. ambient



Difracció patró d'OCPC a -50° C Difracció patró a temp. ambient

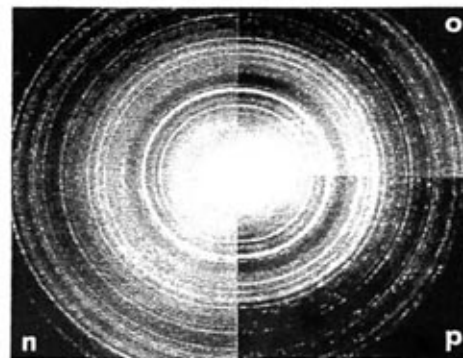


Difracció patró de la HA a -50° C Difracció patró a temp. ambient



Difracció patró de l'os a temp. ambient

l) Difracció patró de l'os a 300° C. m) Difracció a 600° C



Difracció patró d'OCP a temp. ambient

o) Difracció patró d'OCP a 400° C
p) Difracció patró d'OCP a 600° C